

EXEMPLE D'APPLICATION DE PROSIMPLUS

UNITE DE PRODUCTION DE BIOETHANOL

INTERET DE L'EXEMPLE

Cet exemple illustre la simulation d'une unité de production de bioéthanol. L'éthanol est ici produit à partir de biomasse par des procédés d'hydrolyse et de fermentation de sucres. La biomasse subit dans un premier temps un pré-traitement à l'acide et aux enzymes pour produire du sucre qui est ensuite fermenté en alcool. L'éthanol produit contient encore une quantité importante d'eau qui est retirée par distillation.

Cet exemple illustre notamment l'ajout de nouveaux constituants aux bases de données de corps-purs de ProSimPlus et la mise en œuvre de plusieurs jeux de réactions complexes dans un procédé.

DIFFUSION	<input checked="" type="checkbox"/> Libre-Internet	<input type="checkbox"/> Réservé aux clients ProSim	<input type="checkbox"/> Restreinte	<input type="checkbox"/> Confidentiel
-----------	--	---	-------------------------------------	---------------------------------------

FICHER PROSIMPLUS CORRESPONDANT	<i>PSPS_EX_FR-Production-Bioethanol.pmp3</i>
---------------------------------	--

Il est rappelé au lecteur que ce cas d'utilisation est un exemple et ne doit pas être utilisé à d'autres fins. Bien que cet exemple soit basé sur un cas réel il ne doit pas être considéré comme un modèle de ce type de procédé et les données utilisées ne sont pas toujours les plus exactes disponibles. ProSim ne pourra en aucun cas être tenu pour responsable de l'application qui pourra être faite des calculs basés sur cet exemple.

Energy

Fives ProSim

Siège social : Immeuble Stratège A - 51 rue Ampère - 31670 Labège - FRANCE

Tél. : +33 (0)5 62 88 24 30

S.A.S. au capital de 147 800 € - 350 476 487 R.C.S. Toulouse - Siret 350 476 487 00037 - APE 5829C - N° TVA FR 10 350 476 487

www.fivesgroup.com / www.fives-prosim.com

TABLE DES MATIÈRES

1. INTRODUCTION	3
2. MODELISATION DU PROCEDE	3
2.1. Présentation du procédé	3
2.2. Schéma du procédé	5
2.3. Constituants	6
2.4. Modèle thermodynamique	7
2.5. Réactions chimiques	8
2.6. Conditions opératoires	10
3. RESULTATS	13
3.1. Commentaires sur les résultats	13
3.2. Bilans matière et énergie	14
3.3. Profils des colonnes	16
4. BIBLIOGRAPHIE	21

1. INTRODUCTION

Il y a deux sortes d'éthanol produit industriellement : l'éthanol de synthèse et l'éthanol produit par fermentation. L'éthanol de fermentation (ou bioéthanol) peut être produit à partir de biomasse contenant des sucres, de l'amidon ou de la cellulose (l'amidon et la cellulose étant des formes plus complexes de sucres). Tous ces procédés de fabrication requièrent une étape de fermentation pour convertir le sucre en éthanol ainsi que des étapes plus ou moins complexes de distillation afin de séparer l'alcool de l'eau.

L'éthanol est un biocarburant couramment utilisé en tant qu'alternative aux combustibles fossiles. En plus d'être renouvelable, l'éthanol présente le gros avantage d'être facilement miscible à l'essence. Dans certains cas l'éthanol est d'abord converti dans sa forme éther (ETBE), obtenu par réaction avec de l'isobutène produit en raffinerie. L'ajout de petites quantités d'éthanol à de l'essence présente de nombreux avantages dont notamment la réduction des rejets de monoxyde de carbone et autres polluants à la sortie des pots d'échappement des véhicules. En outre, comme l'éthanol est produit à partir de matières végétales qui absorbent du dioxyde de carbone et rejettent de l'oxygène pendant leur croissance, il permet de réduire les émissions de gaz à effets de serre. L'éthanol est aussi ajouté à l'essence afin d'en améliorer l'indice d'octane.

Pour toutes ces raisons et afin de satisfaire une demande croissante, de nombreux producteurs d'éthanol ainsi que nombre de sociétés d'ingénierie s'efforcent de concevoir et de construire de nouvelles unités le plus rapidement possible. Parallèlement, la simulation rigoureuse de procédés telle qu'elle peut-être faite avec ProSimPlus est aujourd'hui de plus en plus utilisée afin de concevoir mais surtout d'optimiser les procédés de production de bioéthanol.

2. MODELISATION DU PROCEDE

2.1. Présentation du procédé

La matière première est ici du fourrage de maïs. Les principaux constituants sont la cellulose, l'hémicellulose et la lignine. La modélisation démarre juste après le lavage de la matière première, étape qui provoque une augmentation de l'humidité de la matière première.

Le procédé comporte trois étapes réactionnelles :

1. L'hydrolyse (réacteur R101) : l'alimentation est chauffée (190°C) sous haute pression (12,1 atm) en présence d'un catalyseur acide (H_2SO_4) et l'essentiel de l'hémicellulose est convertie en xylose.
2. La saccharification (réacteur R102) : une réaction enzymatique qui convertit la cellulose en glucose.
3. la fermentation (réacteur R103) : la plupart du glucose et du xylose est ici convertie en éthanol et dioxyde de carbone.

Un flash de séparation (S101) à pression atmosphérique est placé entre le réacteur d'hydrolyse et le réacteur de saccharification afin d'évacuer une partie de l'eau et certains sous-produits. Un autre flash (S102) est utilisé après le réacteur de fermentation (R103), afin de séparer les incondensables (CO_2).

La première colonne de distillation (C101) sépare le reste des incondensables (CO_2) qui est récupéré au distillat vapeur (courant C10). L'eau, les sucres et la matière première n'ayant pas réagi sont récupérés en pied de colonne (courant C11) et l'éthanol ($\approx 40\%$ mass) est soutiré en milieu de colonne (courant C09). Ce soutirage est dirigé vers une seconde colonne de distillation (C102). Cette colonne sépare l'éthanol ($\approx 92\%$ mass), qui est récupéré au

distillat vapeur, de l'eau récupérée en pied de colonne pour être recyclée (courant C18). L'éthanol est finalement séché sur un tamis moléculaire (C103) qui est modélisé ici par un séparateur idéal de constituants.

Enfin, un scrubber (C104) sépare l'éthanol et l'eau contenue dans les courants vapeurs provenant du flash (S102) en sortie du réacteur de fermentation et le distillat vapeur de la première colonne de distillation (C101).

Plusieurs spécifications sont imposées dans le procédé. Les principales sont :

- ✓ Une température de 100°C à la sortie du premier mélangeur (M101) par action sur le débit du courant LP Steam (utilisation du module de Gestion des contraintes et recyclages (SPEC) associé aux courants d'information T° M101 et LP Flowrate et au module de mesure MES 01).

The image shows two configuration windows for 'Courant information' (SISTR5 and SISTR4) and a central process flow diagram. The left window (SISTR5) is for 'LP Flowrate' and the right window (SISTR4) is for 'T° M101'. Both windows have 'Automatique' selected for the emission nature and 'Débit total du courant' for the reception nature. The central diagram shows a mixer (M101) receiving 'LP Flowrate' and 'Acid', with a 'SPEC' control block and a 'MES 01' measurement point.

- ✓ Une température de 190°C à la sortie du réacteur d'hydrolyse (R101) par action sur le débit de HP Steam (utilisation similaire du module de Gestion des contraintes et recyclages (SPEC) associé aux courants d'information T° R101 output delta et HP Flowrate et au module de mesure MES 02).
- ✓ Une fraction massique en H₂SO₄ de 1,1% à la sortie du réacteur d'hydrolyse R101 par action sur le débit du courant Acid (utilisation similaire du module de Gestion des contraintes et recyclages (SPEC) associé aux courants d'information Acid fraction delta et Acid Flowrate et au module de mesure MES 03).

L'exemple simulé ici est tiré d'une publication [1].

2.2. Schéma du procédé

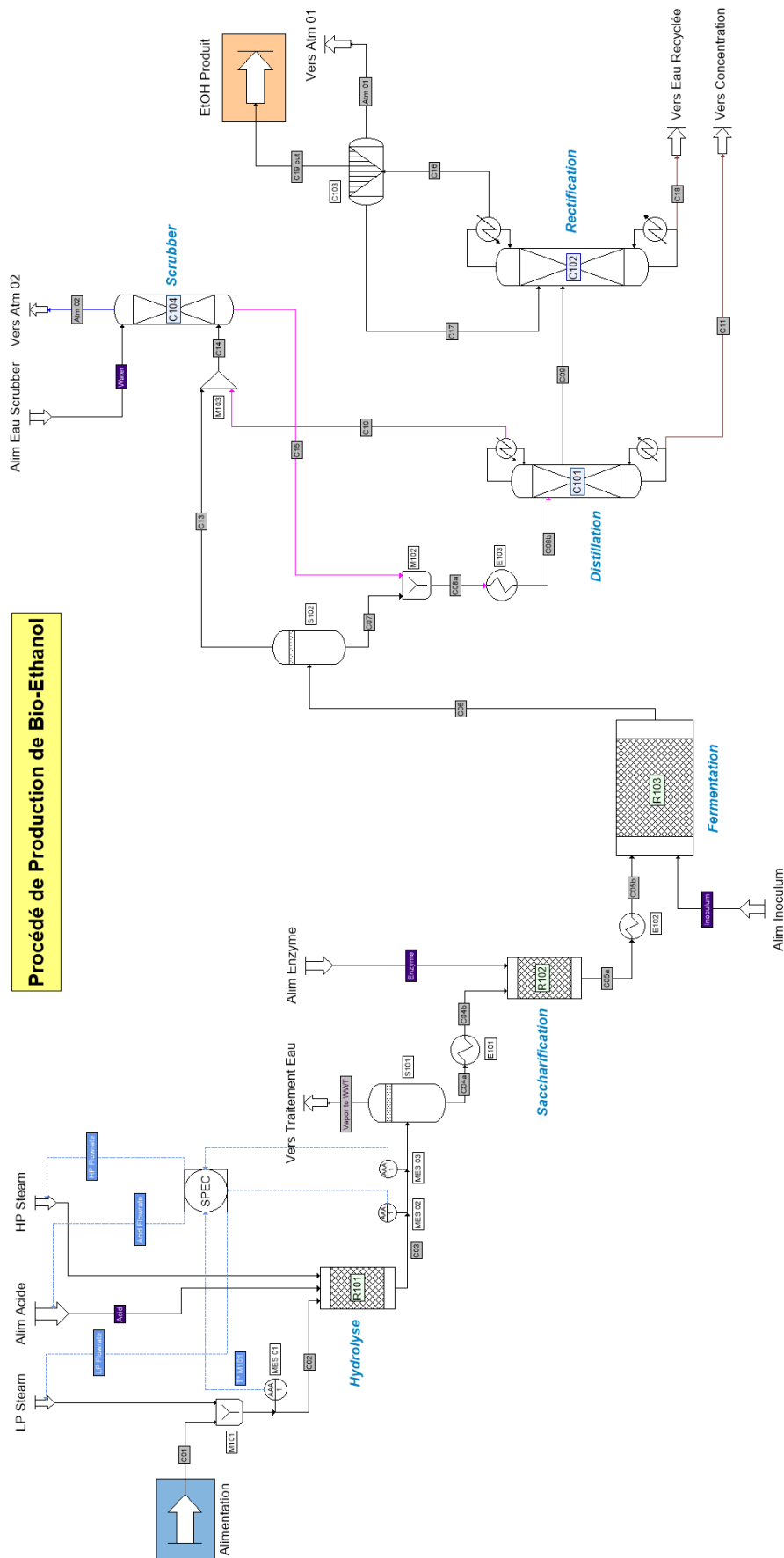


Schéma de l'unité de production de bioéthanol

2.3. Constituants

Les constituants pris en considération dans cet exemple sont listés dans le tableau ci-dessous.

Nom	Formule chimique	Numéro CAS	Origine dans le procédé
Acétate	$C_2H_4O_2$	-	Groupements acétate présents dans le polymère d'hémicellulose
Acide acétique	$C_2H_4O_2$	64-19-7	Provenant de l'hydrolyse de l'acétate et sous-produit de la fermentation
Dioxyde de carbone	CO_2	124-38-9	Sous-produit de la fermentation
Cellobiose	$C_{12}H_{22}O_{11}$	-	Provenant de l'hydrolyse et de la saccharification de la cellulose
Cellulose	$C_5H_{10}O_5$	-	Matière première
Corn steep liquor (CSL)	inconnue (modélisé comme de l'eau)	-	Source d'alimentation en azote des bactéries
Diammonium phosphate (DAP)	$(NH_4)_2HPO_4$	7783-28-0	Source d'alimentation en azote des bactéries
Enzyme	$CH_{1.57}N_{0.29}O_{0.31}S_{0.007}$	-	Enzyme de saccharification
Éthanol	C_2H_6O	64-17-5	Produit recherché
Furfural	$C_5H_4O_2$	98-01-1	Sous-produit de l'hydrolyse de l'hémicellulose
Glucose	$C_6H_{12}O_6$	50-99-7	Provenant de l'hydrolyse et de la saccharification de la cellulose
Glycérol	$C_3H_8O_3$	56-81-5	Sous-produit de la fermentation
Hémicellulose	$C_5H_8O_4$	-	Matière première
Acide lactique	$C_3H_6O_3$	598-82-3	Sous-produit de la fermentation
Lignine	$C_{10}H_{13.9}O_{1.3}$	-	Matière première
Oxygène	O_2	7782-44-7	Produit de la fermentation
Acide succinique	$C_4H_6O_4$	110-15-6	Sous-produit de la fermentation
Acide sulfurique	H_2SO_4	7664-93-9	Catalyseur acide
Eau	H_2O	7732-18-5	Humidité de la matière première, lavage et produit de réactions
Xylitol	$C_5H_{12}O_5$	-	Sous-produit de la fermentation
Xylose	$C_5H_{10}O_5$	-	Provenant de l'hydrolyse et de la saccharification de la cellulose
Z. mobilis	$CH_{1.8}O_{0.5}N_{0.2}$	-	Bactérie de fermentation

Certains de ces constituants ne sont pas présents dans la base de données standard de ProSim. Dans certains cas les constituants ont donc été modélisés par des composés similaires et certaines propriétés ont été estimées. La façon dont ces constituants ont été pris en compte est détaillée dans le tableau suivant.

Constituant	Propriétés
Acétate	Modélisé comme de l'acide acétique.
Cellobiose	Modélisé comme du glucose. Modification : masse molaire ^(E)
Cellulose	Modélisé comme du glucose. Modification : masse molaire ^(E) , enthalpie de formation gaz parfait à 25°C ^(E) , volume molaire liquide ^(E) , chaleur spécifique liquide ^(E)
CSL	Modélisé comme de l'eau. Modification : pression de vapeur saturante
Enzyme	Modélisé comme du glucose.
Hémicellulose	Modélisé comme du glucose. Modification : masse molaire ^(E) , enthalpie de formation gaz parfait à 25°C ^(E) , volume molaire liquide ^(E) , chaleur spécifique liquide ^(E)
Lignine	Modélisé comme du glucose. Modification : masse molaire ^(E) , volume molaire liquide ^(E) , chaleur spécifique liquide ^(E)
Xylitol	Modélisé comme de l'hémicellulose. Modification : masse molaire ^(E)
Xylose	Modélisé comme du glucose. Modification : masse molaire ^(E) , température critique ^(E) , pression critique ^(E) , volume critique ^(E) , facteur acentrique ^(E) , enthalpie de formation gaz parfait à 25°C ^(E) , volume molaire liquide ^(E) , chaleur spécifique liquide ^(E)
Z. mobilis	Modélisé comme du glucose. Modification : enthalpie de formation gaz parfait à 25°C ^(E) , volume molaire liquide ^(E) , chaleur spécifique liquide ^(E)

Note : (E) propriété estimée.

2.4. Modèle thermodynamique

Le système considéré contient des constituants polaires (tels que l'eau ou l'éthanol) qui conduisent à de fortes interactions en phase liquide. La pression de travail étant relativement faible (de 1 à 5 atm), le comportement de la phase vapeur peut être assimilé à celui d'un gaz parfait. En conséquence le modèle NRTL a été choisi. Certains paramètres d'interaction binaire nécessaires qui n'étaient pas disponibles dans la base de données de coefficients d'interaction binaire de ProSim ont été estimés par un modèle prédictif grâce à la fonctionnalité offerte par Simulis Thermodynamics.

Le tableau ci dessous fournit les paramètres d'interaction binaire pris en compte :

Constituant		c_{12}^0	c_{21}^0	a_{12}^0	$c_{12}(T)$	$c_{21}(T)$	$a_{12}(T)$	Note
1	2							
Eau	CO ₂	922,65	2256,3	0,3	7,1259	-5,548	0	A
Eau	Éthanol	1616,81	-635,56	0,1448	2,0177	0,9907	0	B
Eau	Furfural	2602,6374	436,9686	0,3958	0	0	0	C
CO ₂	Éthanol	2,0708	-3,5177	0,3	927,13	-18,62	0	A

Note A : les paramètres d'interaction binaire du modèle ont été estimés à partir des coefficients d'activité à dilution infinie calculés par le modèle UNIFAC-PSRK.

Note B : ces paramètres d'interaction binaire sont disponibles dans la base de données des paramètres d'interaction binaire de ProSim.

Note C : extrait de [2].

2.5. Réactions chimiques

Trois jeux de réactions chimiques sont définis.

Pour toutes les réactions chimiques, les chaleurs de réaction sont calculées à partir des enthalpies standard de formation à 298,15 K.

✓ Réactions dans l'hydrolyseur de pré-traitement:

Réactions	Réactif	Fraction convertie en produit
Cellulose + H ₂ O → Glucose	Cellulose	0,077
Cellulose + 0,5 H ₂ O → 0,5 Cellobiose	Cellulose	0,007
Hémicellulose + H ₂ O → Xylose	Hémicellulose	0,925
Hémicellulose → Furfural + 2 H ₂ O	Hémicellulose	0,05
Acétate → Acide acétique	Acétate	1

✓ Réactions de saccharification :

Réactions	Réactif	Fraction convertie en produit
Cellulose + H ₂ O → Glucose	Cellulose	0,94
Cellulose + 0,5 H ₂ O → 0,5 Cellobiose	Cellulose	0,012
Cellobiose + H ₂ O → 2 Glucose	Cellobiose	1

✓ Réactions de fermentation :

Réactions	Réactif	Fraction convertie en produit
Glucose → 2 Éthanol + 2 CO ₂	Glucose	0,95
Glucose + CSL + 0,018 DAP → 6 Z.mobilis + 2.4 H ₂ O + 0,3 O ₂	Glucose	0,02
Glucose + 2 H ₂ O → 2 Glycerol + O ₂	Glucose	0,004
Glucose + 2 CO ₂ → 2 Acide succinique + O ₂	Glucose	0,006
Glucose → 3 Acide acétique	Glucose	0,015
Glucose → 2 Acide lactique	Glucose	0,002
3 Xylose → 5 Éthanol + 5 CO ₂	Xylose	0,85
Xylose + 0,833 CSL + 0,015 DAP → 5 Z.mobilis + 2 H ₂ O + 0,25 O ₂	Xylose	0,019
3 Xylose + 5 H ₂ O → 5 Glycérol + 2.5 O ₂	Xylose	0,003
Xylose + H ₂ O → Xylitol + 0,5 O ₂	Xylose	0,046
3 Xylose + 5 CO ₂ → 5 Acide succinique + 2,5 O ₂	Xylose	0,009
2 Xylose → 5 Acide acétique	Xylose	0,014
3 Xylose → 5 Acide lactique	Xylose	0,002

2.6. Conditions opératoires

- ✓ Alimentation du procédé

	<i>Alimentation</i>
Eau (kg/h)	45 007
Cellulose (kg/h)	31 178
Hémicellulose (kg/h)	22 924
Lignine (kg/h)	15 002
Acetate (kg/h)	2 435
Température (°C)	45
Pression (atm)	1

- ✓ Alimentations vapeur

	<i>Basse pression (LP Steam)</i>	<i>Haute pression (HP Steam)</i>
Eau (kg/h)	6 700 (initialisation)	10 000 (initialisation)
Température (°C)	164	268
Pression (atm)	4,42	13

- ✓ Alimentation catalyseur

	<i>Acide</i>
Eau (kg/h)	98 256
Acide sulfurique (hg/h)	2 104 (initialisation)
Température (°C)	745
Pression (atm)	4

- ✓ Alimentation du scrubber

	<i>Eau</i>
Eau (kg/h)	36 000 (initialisation)
Température (°C)	26
Pression (atm)	1

✓ Alimentation des réacteurs

<i>Caractéristiques</i>	<i>Enzyme de saccharification Enzyme</i>	<i>Bactérie de fermentation Inoculum</i>
Eau (kg/h)	6 255	33 881
Enzyme (kg/h)	568	
Z. mobilis (kg/h)		193
Diammonium Phosphate (kg/h)		136
Corn Steep Liquor (kg/h)		1 087
Température (°C)	20	41
Pression (atm)	1	1

✓ Réacteurs

<i>Paramètres de fonctionnement</i>	<i>Réacteur d'hydrolyse R101</i>	<i>Réacteur de saccharification R102</i>	<i>Réacteur de fermentation R103</i>
Type de réacteur	Simple	Simple	Simple
Jeu de réaction	Hydrolyse	Saccharification	Fermentation
Température en sortie (°C)	Adiabatique	65	41
Pression en sortie (atm)	12,1	1	1

✓ Séparateurs

<i>Paramètres de fonctionnement</i>	<i>S101 Évaporation d'eau</i>	<i>S102 Évent du réacteur R102</i>
Type de séparateur	Séparateur Liquide-Vapeur	Séparateur Liquide-Vapeur
Température (°C)	Adiabatique	Température d'entrée
Pression (atm)	1	Pression d'entrée

✓ Échangeurs de chaleur

<i>Nom</i>	<i>Type</i>	<i>Température de sortie (°C)</i>
E101	Consignateur de température	65
E102	Consignateur de température	41
E103	Consignateur de température	100

✓ Colonnes

<i>Paramètres de fonctionnement</i>	<i>C101</i>	<i>C102</i>	<i>C104</i>
Type de colonne	Colonne de distillation diphasique	Colonne de distillation diphasique	Absorbeur
Nombre d'étages	34	62	4
Étage d'alimentation	5	Pied du scrubber : 20 Soutirage C101 : 45	-
<i>Soutirage intermédiaire</i>			
Étage	9		
Débit (kmol/h)	2 472,5	-	-
État	Vapeur		
Débit de distillat vapeur (kg/h)	491	30 740	
Taux de reflux molaire	3	3,2	-
<i>Pression</i>			
Tête de colonne (atm)	1,86	1,7	1
Soutirage (atm)	1,91		
Pied de colonne (atm)	2,1	-	-
Efficacité des plateaux	0,48	0,57	1

Spécifications complémentaires pour la colonne C104 :

Spécification	Type de produit	Constituant	Valeur	Phase	Type	Action
1: Taux de récupération	Distillat vapeur	CO ₂	0,998	Vapeur	Mass	Débit d'eau d'alimentation

✓ Tamis moléculaire C103 (modélisé comme un séparateur de constituants idéal)

<i>Paramètres de fonctionnement</i>	<i>Produit de tête</i>	<i>Produit de pied</i>	<i>Autre produit</i>
Température (°C)	Température d'entrée	70	Température de bulle
Pression (atm)	Pression d'entrée	1,53	Pression d'entrée
Taux de récupération	Dioxyde de carbone : 1 Oxygène : 1		Eau : 0,05 Éthanol : 0,80

✓ Mélangeur M102

	<i>Paramètre de fonctionnement</i>
Pression de sortie (atm)	4,76

3. RESULTATS

3.1. Commentaires sur les résultats

La séquence de calcul (l'ordre de calcul des modules) est générée automatiquement. Aucune initialisation n'est nécessaire pour obtenir la convergence du flowsheet (pas d'initialisation des courants de recyclage). Bien qu'il y ait deux courants de recyclage et trois spécifications, la convergence du flowsheet est obtenue aisément.

Trois débits d'entrée sont ajustés afin d'atteindre les bonnes conditions opératoires pour les réactions d'hydrolyse. 6,7 T/h de *LP Steam* et 38,2 T/h de *HP Steam* sont nécessaires pour atteindre le niveau de température requis dans le réacteur d'hydrolyse. 2,9 T/h d'équivalent H₂SO₄ pur sont nécessaires pour atteindre la fraction massique en acide requise au niveau du réacteur d'hydrolyse. Pour atteindre un taux de récupération du CO₂ de 99,8% dans le scrubber, un débit d'eau de 41,7 t/h est nécessaire.

La production de l'unité est d'environ 22,8 T/h d'éthanol équivalent pur (99,5% mass) pour une alimentation en matière première de 71,6 T/h équivalent matière sèche (à 39% massique d'humidité).

3.2. Bilans matière et énergie

Ce document ne présente que les bilans matière et énergie sur les courants les plus pertinents. ProSimPlus fournit cependant des résultats complets sur tous les courants et sur chaque opération unitaire.

Courants d'alimentation principaux

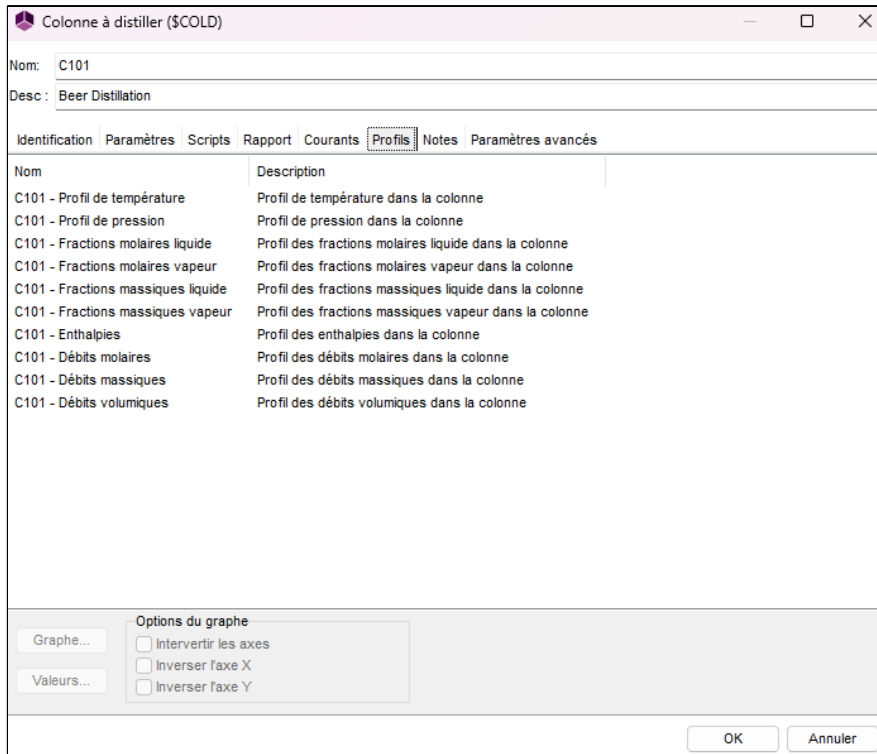
Courants		C01	Acid	Inoculum	Enzyme
De		Alimentation	Alim Acide	Alim Inoculum	Alim Enzyme
Vers		M101	R101	R103	R102
Débits partiels		t/h	t/h	t/h	t/h
WATER		45,00	98,26	33,88	6,25
CARBON DIOXIDE		0	0	0	0
ETHANOL		0	0	0	0
SULFURIC ACID		0	2,88	0	0
GLUCOSE		0	0	0	0
XYLOSE		0	0	0	0
CELLULOSE		31,19	0	0	0
HEMICELLULOSE		22,92	0	0	0
LIGNIN		15,00	0	0	0
FURFURAL		0	0	0	0
CELLOBIOSE		0	0	0	0
ENZYME		0	0	0	0,57
Z. MOBILIS		0	0	0,19	0
DIAMMONIUM PHOSPHATE		0	0	0,14	0
OXYGEN		0	0	0	0
CSL		0	0	1,09	0
GLYCEROL		0	0	0	0
SUCCINIC ACID		0	0	0	0
ACETIC ACID		0	0	0	0
LACTIC ACID		0	0	0	0
XYLITOL		0	0	0	0
ACETATE		2,44	0	0	0
Débit total	t/h	116,55	101,14	35,3	6,82
État physique		Liquide	Liquide	Liquide	Liquide
Température	°C	45	74	41	20
Pression	atm	1,00	4,00	1,00	1,00
Enthalpie	kcal/h	-36684723,5	-52926070,5	-19912675,4	-3846201,37
Fraction vapeur		0	0	0	0

Autres courants

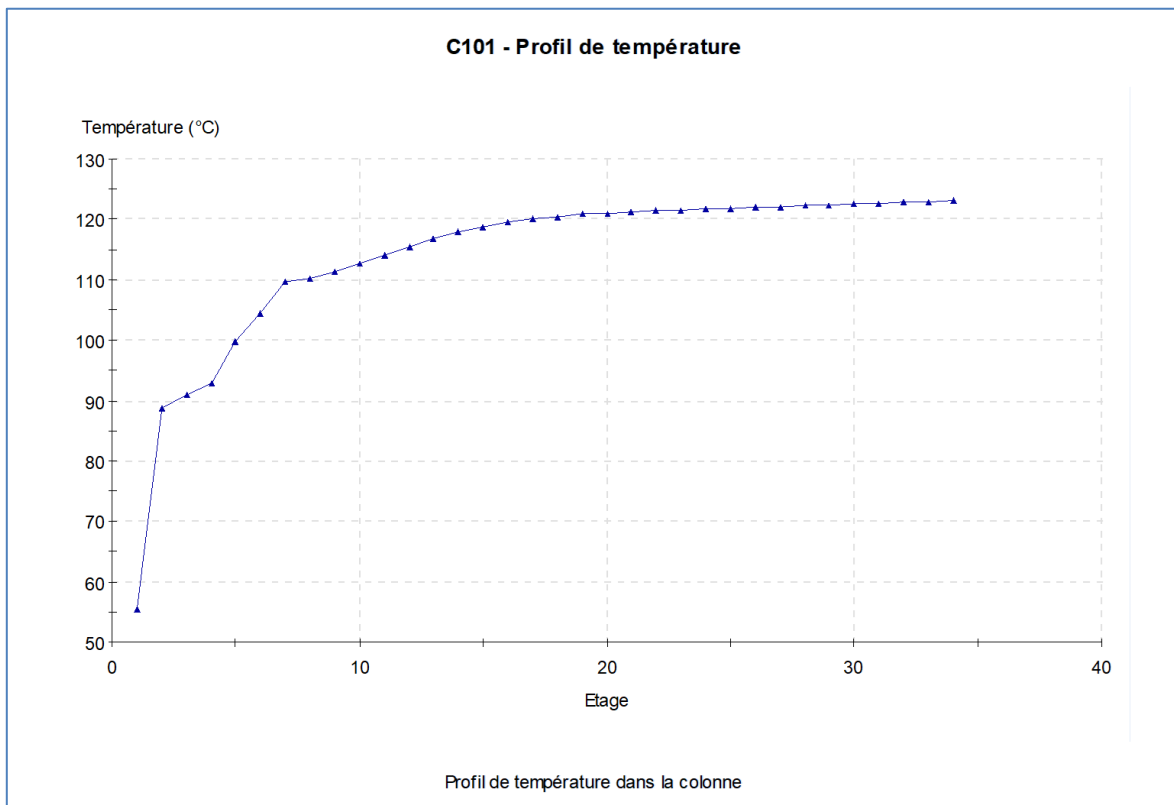
Courants		C02	C05a	C06	C09	C19 out
De		MES 01	R102	R103	C101	C103
Vers		R101	E102	S102	C102	>>>
Débits partiels		t/h	t/h	t/h	t/h	t/h
WATER		51,65	152,13	186,11	34,10	0,11
CARBON DIOXIDE		0	0	25,00	2,2E-04	0
ETHANOL		0	0	26,39	26,38	22,75
SULFURIC ACID		0	2,88	2,88	6,10E-05	0
GLUCOSE		0	32,75	0,10	0	0
XYLOSE		0	24,10	1,37	0	0
CELLULOSE		31,19	1,37	1,37	0	0
HEMICELLULOSE		22,92	0,57	0,57	0	0
LIGNIN		15,00	15,00	15,00	1,14E-07	0
FURFURAL		0	0,47	0,47	0,33	0
CELLOBIOSE		0	0,36	0,36	0	0
ENZYME		0	0,57	0,57	0	0
Z. MOBILIS		0	0	1,11	8,42E-09	0
DIAMMONIUM PHOSPHATE		0	0	0,12	0	0
OXYGEN		0	0	0,29	5,91E-08	0
CSL		0	0	0,98	7,44E-09	0
GLYCEROL		0	0	0,21	1,09E-05	0
SUCCINIC ACID		0	0	0,54	3,77E-06	0
ACETIC ACID		0	2,15	2,98	0,22	0
LACTIC ACID		0	0	0,11	9,63E-05	0
XYLITOL		0	0	1,12	0	0
ACETATE		2,44	0	0	0	0
Débit total	t/h	123,2	232,35	267,65	61,03	22,86
État physique		Liquide	Liquide	Liq./Vap.	Vapeur	Liquide
Température	°C	100	65	41,00	111,39	92,37
Pression	atm	1,00	1,00	1,00	1,91	1,70
Enthalpie	kcal/h	-36267858,8	-96099288,4	-115571198,5	2188539,8	-3947068,7
Fraction vapeur		0	0	0,0536	1	0

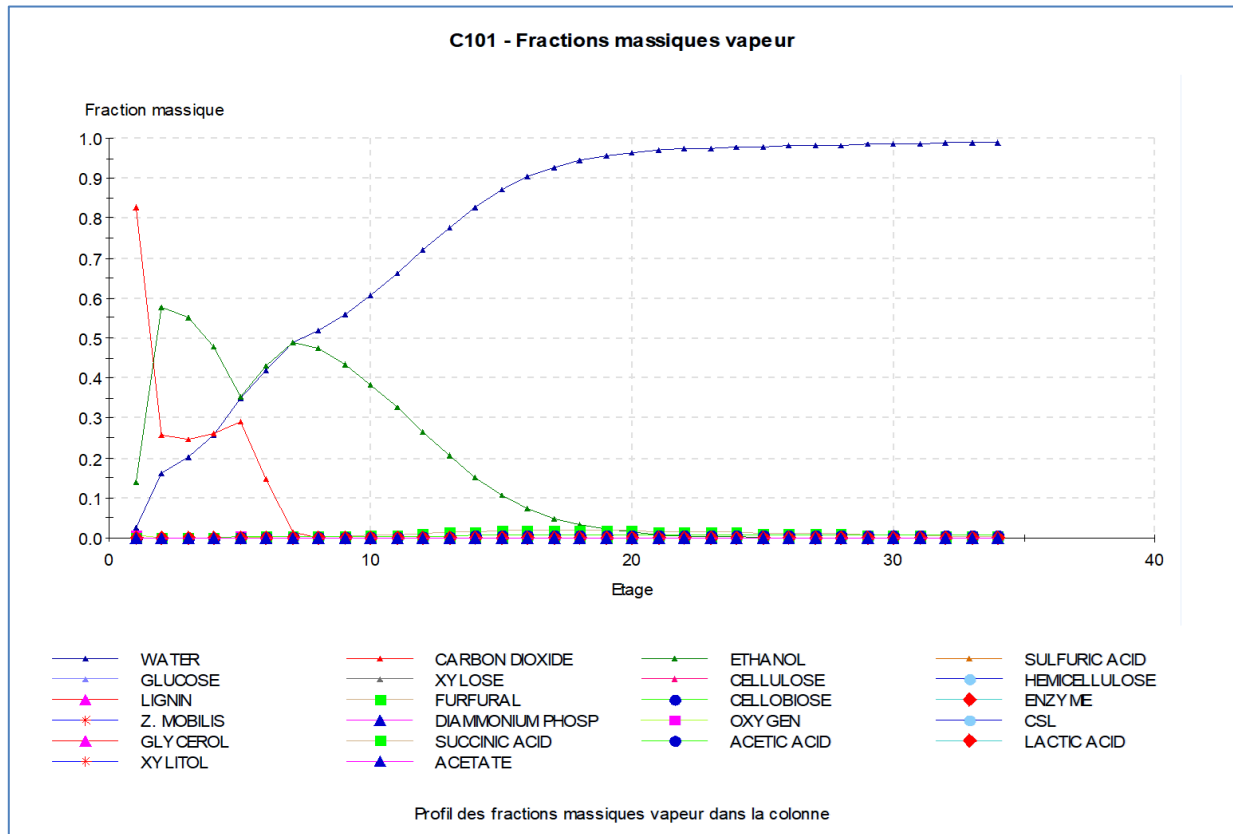
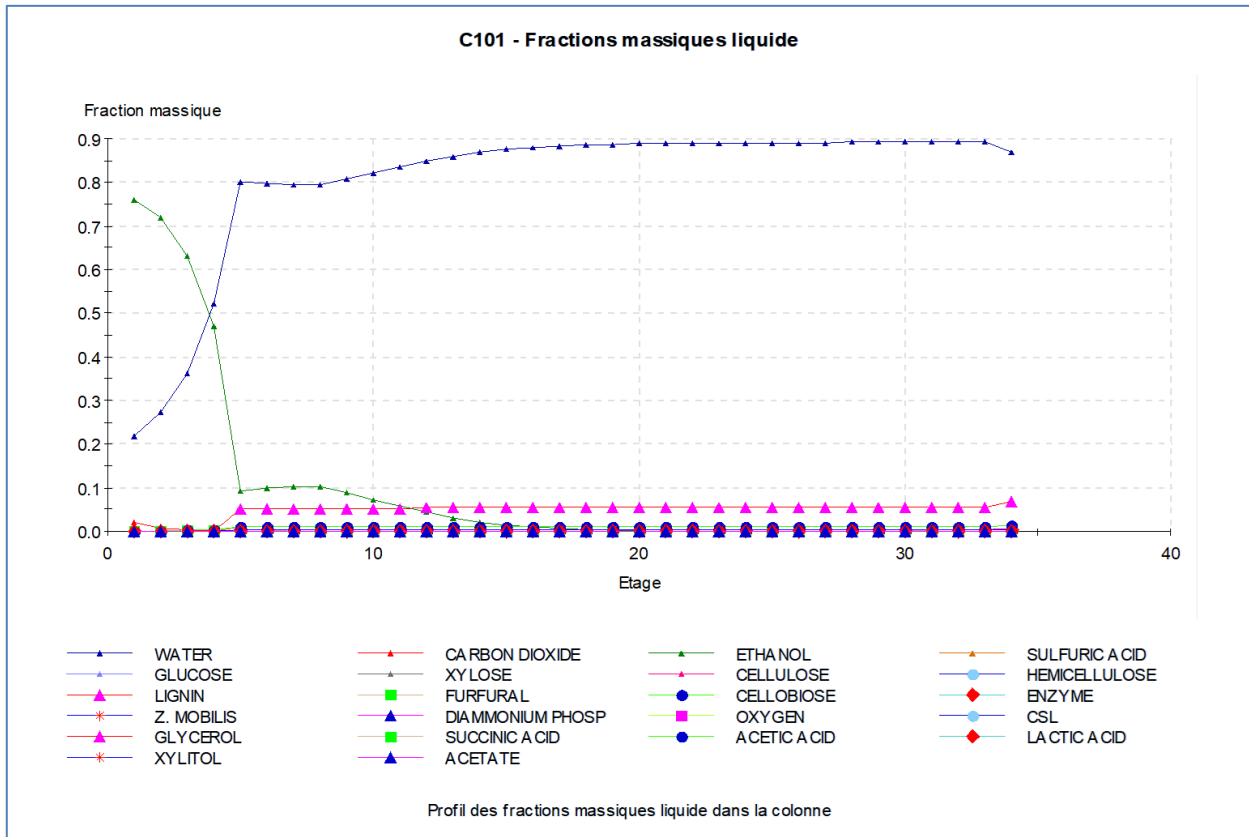
3.3. Profils des colonnes

Les profils de colonne sont obtenus après la simulation dans la fenêtre de configuration de la colonne, sous l'onglet « Profils ». Un double-clic sur le profil souhaité, génère le graphique. Il est à noter que dans ProSimPlus, les étages des colonnes sont numérotés de haut en bas (le premier plateau correspond au condenseur, le dernier au rebouilleur).

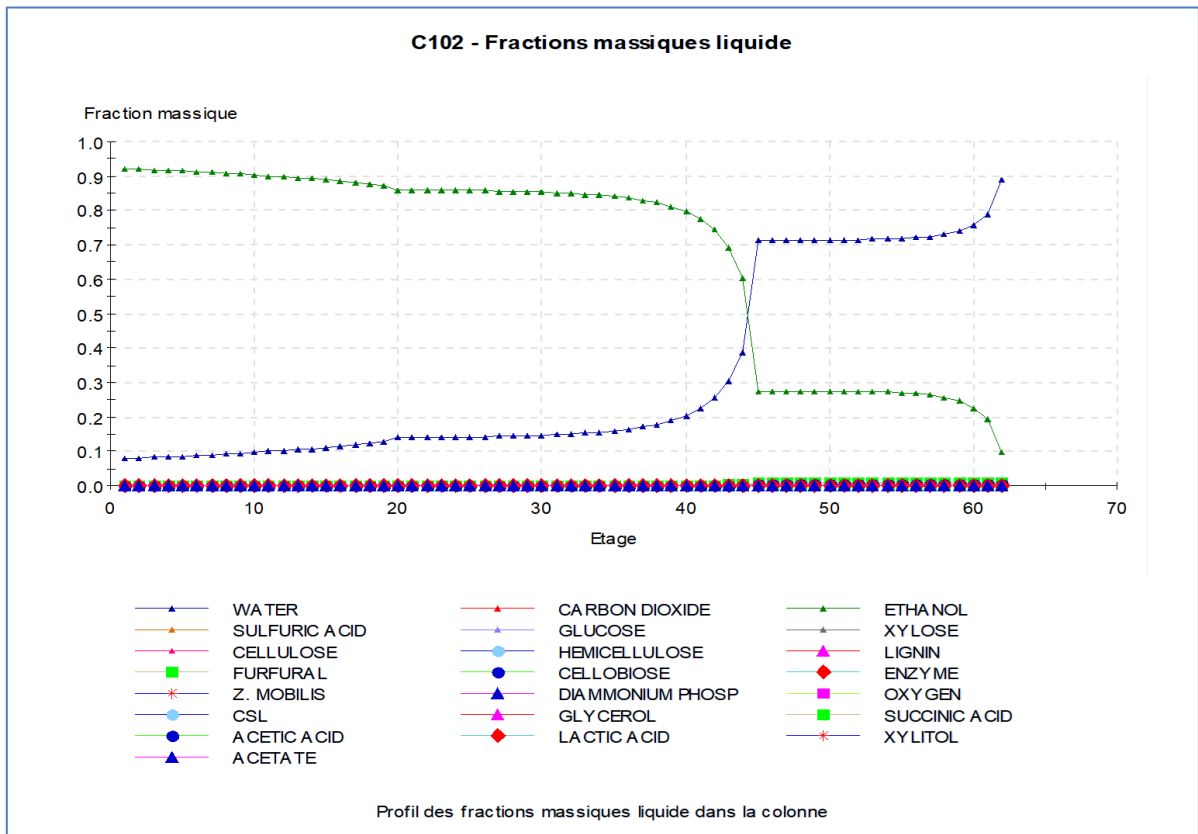
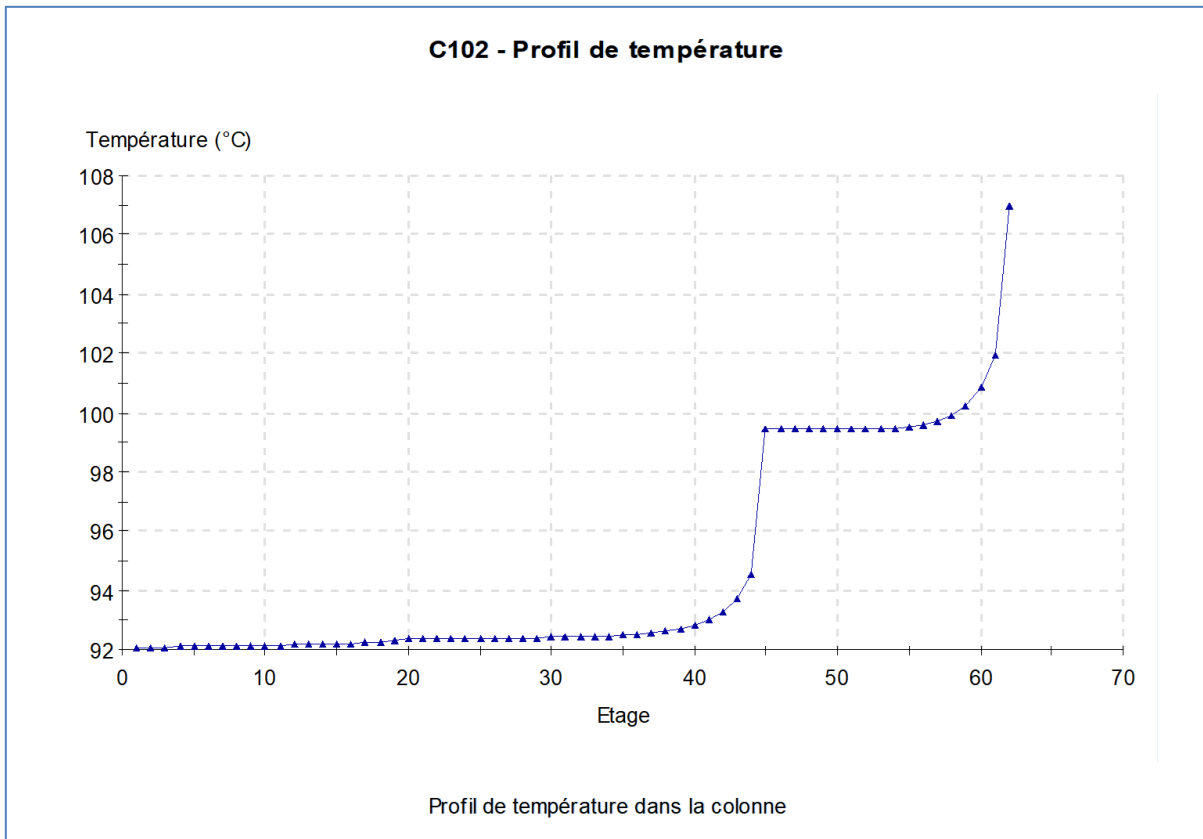


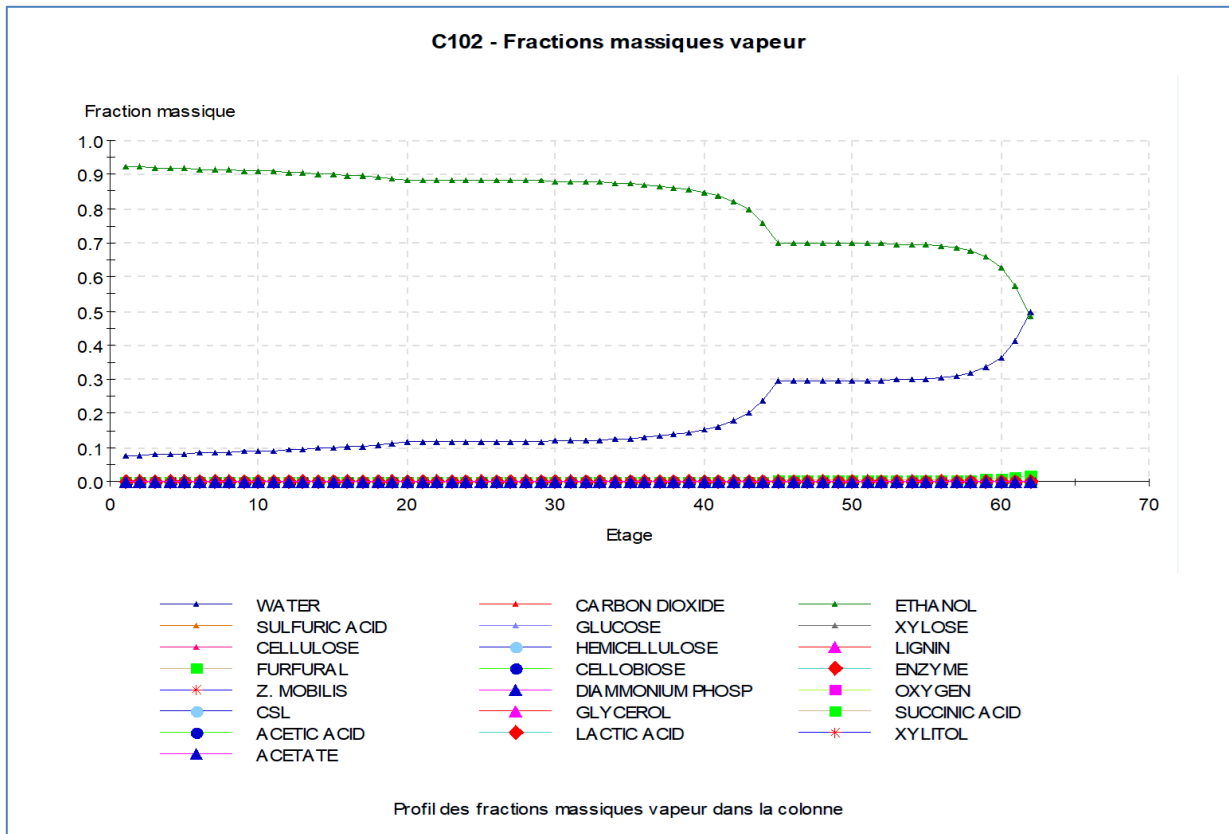
Colonne C101



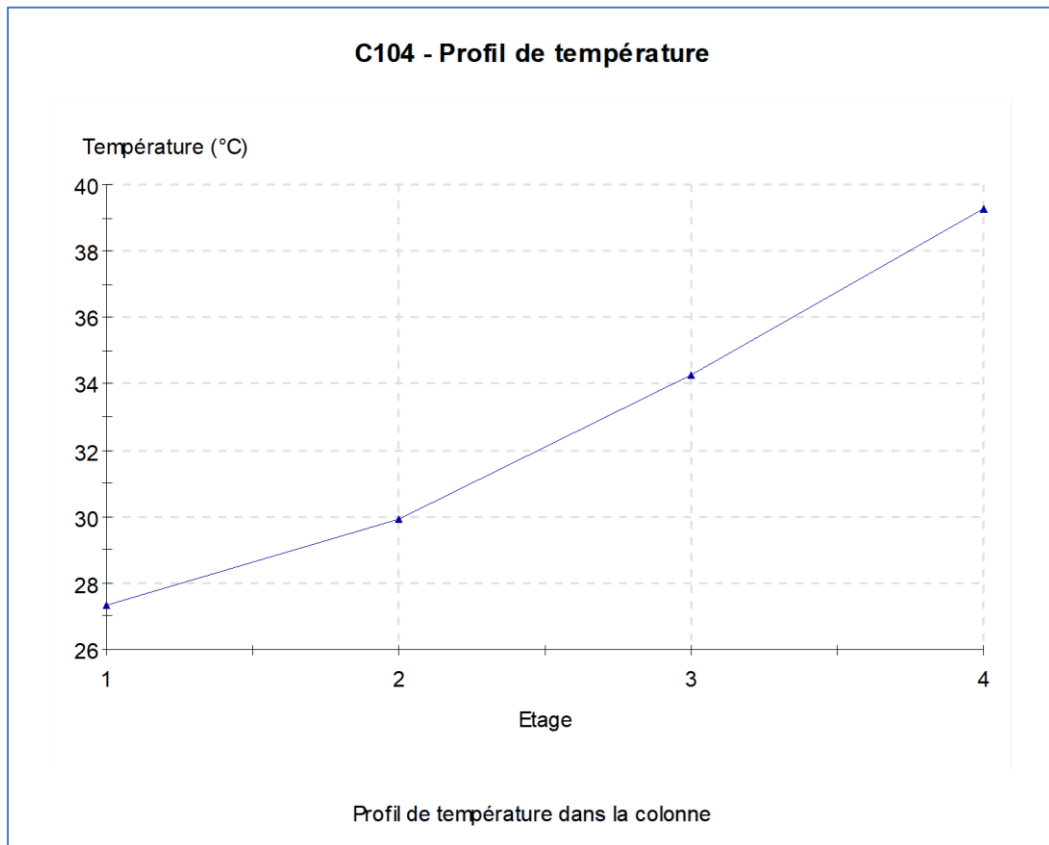


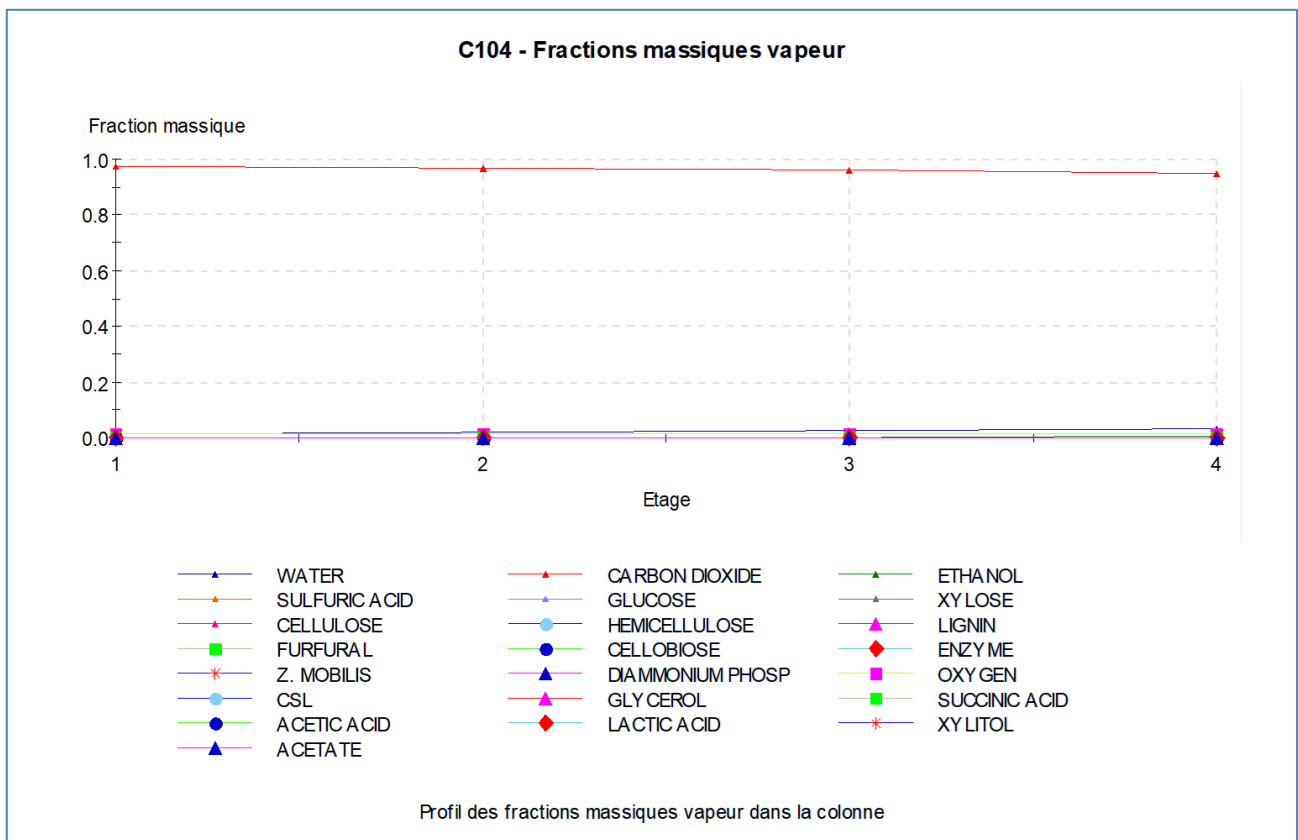
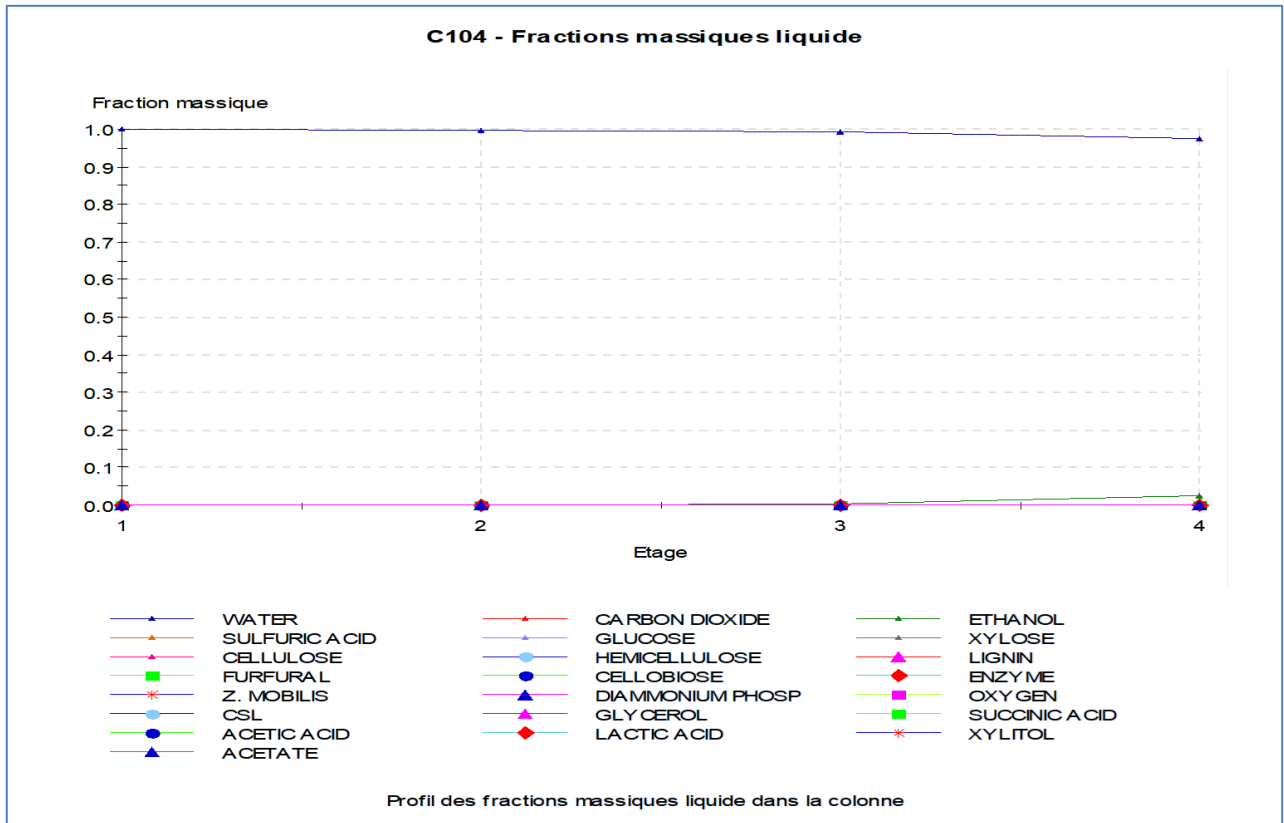
Colonne C102





Colonne C104





4. BIBLIOGRAPHIE

- [1] A. Aden, M. Ruth, K. Ibsen, J. Jechura, K. Neeves, J. Sheehan, B. Wallace
Lignocellulosic Biomass to Ethanol Design and Economics Utilizing Co-Current Dilute Acid Prehydrolysis and Enzymatic Hydrolysis for Corn Stover.
NREL, NREL/TP-510-32438, 2002.
- [2] DECHEMA
Deutsche Gellelschaft Für Chemische Technik und Biotechnology e.V.